



NATA LIGHTING CO.,LTD.
www.nata.cn
Email:info@nata.com
Tel:+86-750-3770000 Fax:+86-750-3771111
Address:380JinOu Road,GaoXin Zone,Jiang Men City,Guangdong,China

NATA

Client:

LumCAT: 2-2640-L

Luminaire: 92.70.429.00

Report No: 20231010-B014

Ballast type: AC

Test No: 20231010-C014

Voltage(V): 35.970

LampCAT: CREE CXA1830 LES14

Current(A): 0.530

Lamp flux(lm): 1997.0

Power (W): 19.064

Number of Lamps: 1

PF: 0.000

Length(mm): 0

Width(mm): 0

Phm Type: C

Height(mm): 0

Photometric Results

Lumens(lm): 1860.32, Efficiency(%): 93.15% , Luminous Efficacy(lm/W): 97.58

Central intensity(cd): 5675.487, Maximum intensity(cd): 5675.487

Angle of maximum intensity: C=0.0 γ =0.0

Beam Angle(50%Imax): [C0/180]Total=25.8

[C90/270]Total=25.8

Field angle(10%Imax): [C0/180]Total=62.4

[C90/270]Total=62.4

Beam angle of C0 plane : 25.76

Aveage BeamAngle(IEC 61341):25.76

Maximum s/h(1/2): C0_180=0.43 C90_270=0.43

Maximum s/h(1/4): C0_180=0.49 C90_270=0.49

Up flux rate of lamp(%): 0.00%

Down flux rate of lamp(%): 93.15%

Up flux rate of LUM(%): - -

Down flux rate of LUM(%): 100.00%

CIE Type : Direct lighting

Output flux ratio in π solid angle : 98.043%

$\gamma(^{\circ})$	Average I(cd)	Zonal F(lm)	Sum F(lm)	Eff Flux(%)	Eff Sum(%)
0.0	5675.488	0.000	0	0.00%	0.00%
1.0	5641.653	5.415	5.415	0.27%	0.29%
2.0	5538.211	16.046	21.461	0.80%	1.15%
3.0	5379.207	26.111	47.572	1.31%	2.56%
4.0	5204.152	35.426	82.998	1.77%	4.46%
5.0	4978.863	43.807	126.805	2.19%	6.82%
6.0	4712.681	50.932	177.737	2.55%	9.55%
7.0	4447.260	56.856	234.592	2.85%	12.61%
8.0	4149.873	61.528	296.12	3.08%	15.92%
9.0	3859.405	64.911	361.031	3.25%	19.41%
10.0	3564.094	67.180	428.211	3.36%	23.02%
11.0	3305.108	68.637	496.848	3.44%	26.71%
12.0	3043.977	69.405	566.253	3.48%	30.44%
13.0	2809.278	69.463	635.716	3.48%	34.17%
14.0	2583.851	69.032	704.748	3.46%	37.88%
15.0	2367.626	67.976	772.724	3.40%	41.54%
16.0	2171.259	66.507	839.231	3.33%	45.11%
17.0	1985.340	64.729	903.961	3.24%	48.59%
18.0	1837.892	63.037	966.998	3.16%	51.98%
19.0	1685.877	61.306	1028.304	3.07%	55.28%
20.0	1556.004	59.335	1087.639	2.97%	58.47%
21.0	1442.044	57.569	1145.208	2.88%	61.56%
22.0	1314.212	55.388	1200.596	2.77%	64.54%
23.0	1196.696	52.686	1253.282	2.64%	67.37%
24.0	1134.334	50.965	1304.247	2.55%	70.11%
25.0	1057.870	49.846	1354.092	2.50%	72.79%
26.0	979.779	48.099	1402.191	2.41%	75.37%
27.0	896.486	45.903	1448.095	2.30%	77.84%
28.0	819.614	43.448	1491.543	2.18%	80.18%
29.0	737.718	40.744	1532.287	2.04%	82.37%
30.0	663.309	37.827	1570.114	1.89%	84.40%
31.0	580.562	34.615	1604.729	1.73%	86.26%
32.0	502.555	31.030	1635.759	1.55%	87.93%
33.0	427.129	27.389	1663.148	1.37%	89.40%
34.0	359.854	23.816	1686.965	1.19%	90.68%
35.0	298.702	20.452	1707.417	1.02%	91.78%
36.0	250.344	17.482	1724.899	0.88%	92.72%
37.0	225.421	15.517	1740.416	0.78%	93.55%

$\gamma(^{\circ})$	Average I(cd)	Zonal F(lm)	Sum F(lm)	Eff Flux(%)	Eff Sum(%)
38.0	160.775	12.891	1753.306	0.65%	94.25%
39.0	117.301	9.491	1762.798	0.48%	94.76%
40.0	92.316	7.311	1770.108	0.37%	95.15%
41.0	72.928	5.884	1775.993	0.29%	95.47%
42.0	59.491	4.811	1780.804	0.24%	95.73%
43.0	50.109	4.060	1784.864	0.20%	95.94%
44.0	43.176	3.521	1788.384	0.18%	96.13%
45.0	37.841	3.114	1791.498	0.16%	96.30%
46.0	33.911	2.806	1794.304	0.14%	96.45%
47.0	30.957	2.580	1796.884	0.13%	96.59%
48.0	28.459	2.402	1799.286	0.12%	96.72%
49.0	26.611	2.261	1801.547	0.11%	96.84%
50.0	25.234	2.162	1803.709	0.11%	96.96%
51.0	24.183	2.091	1805.8	0.10%	97.07%
52.0	23.421	2.043	1807.842	0.10%	97.18%
53.0	22.861	2.013	1809.856	0.10%	97.29%
54.0	22.515	2.000	1811.856	0.10%	97.39%
55.0	22.280	2.000	1813.855	0.10%	97.50%
56.0	22.114	2.006	1815.861	0.10%	97.61%
57.0	21.955	2.015	1817.876	0.10%	97.72%
58.0	21.761	2.022	1819.898	0.10%	97.83%
59.0	21.415	2.018	1821.916	0.10%	97.94%
60.0	20.910	2.000	1823.916	0.10%	98.04%
61.0	20.169	1.960	1825.876	0.10%	98.15%
62.0	19.284	1.901	1827.777	0.10%	98.25%
63.0	18.329	1.829	1829.607	0.09%	98.35%
64.0	17.250	1.746	1831.352	0.09%	98.44%
65.0	16.232	1.657	1833.009	0.08%	98.53%
66.0	15.125	1.565	1834.574	0.08%	98.62%
67.0	14.205	1.475	1836.049	0.07%	98.70%
68.0	13.430	1.400	1837.449	0.07%	98.77%
69.0	12.745	1.335	1838.784	0.07%	98.84%
70.0	12.219	1.282	1840.066	0.06%	98.91%
71.0	11.783	1.241	1841.307	0.06%	98.98%
72.0	11.451	1.208	1842.515	0.06%	99.04%
73.0	11.119	1.180	1843.695	0.06%	99.11%
74.0	10.829	1.154	1844.849	0.06%	99.17%
75.0	10.552	1.130	1845.979	0.06%	99.23%

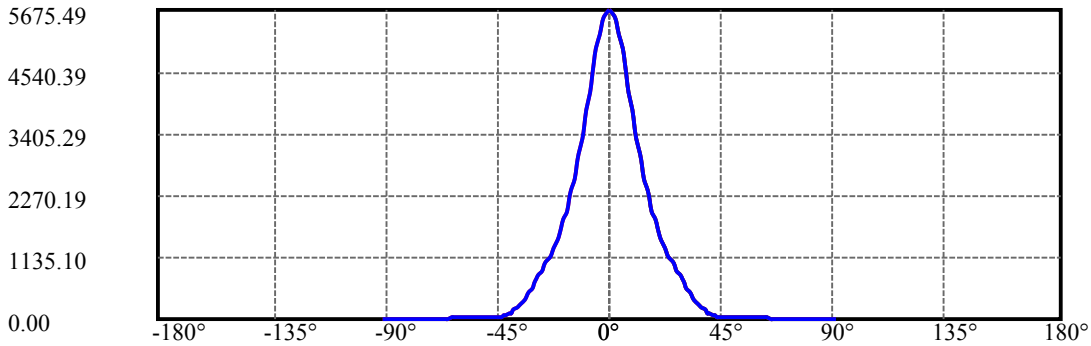
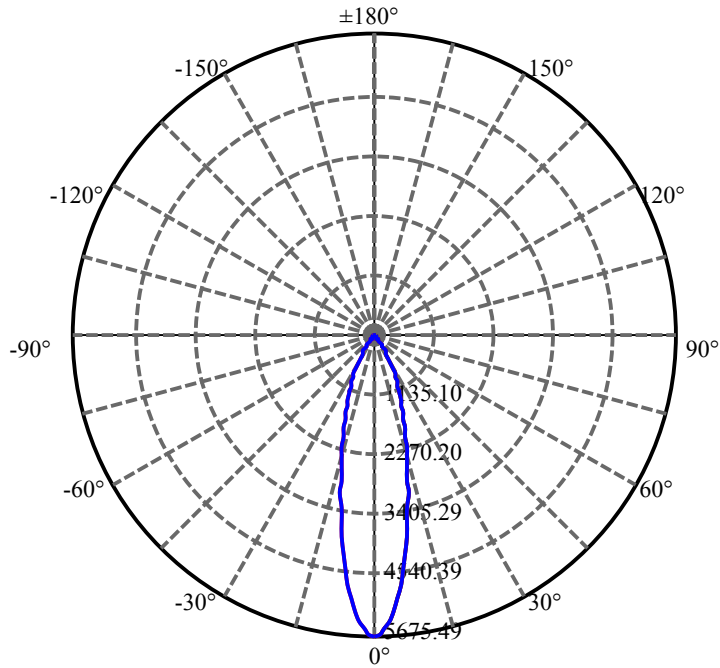
$\gamma(^{\circ})$	Average I(cd)	Zonal F(lm)	Sum F(lm)	Eff Flux(%)	Eff Sum(%)
76.0	10.275	1.106	1847.084	0.06%	99.29%
77.0	10.019	1.082	1848.166	0.05%	99.35%
78.0	9.749	1.058	1849.224	0.05%	99.40%
79.0	9.528	1.036	1850.26	0.05%	99.46%
80.0	9.272	1.014	1851.274	0.05%	99.51%
81.0	9.043	0.990	1852.264	0.05%	99.57%
82.0	8.822	0.969	1853.233	0.05%	99.62%
83.0	8.607	0.947	1854.18	0.05%	99.67%
84.0	8.441	0.929	1855.109	0.05%	99.72%
85.0	8.241	0.910	1856.02	0.05%	99.77%
86.0	8.082	0.892	1856.912	0.04%	99.82%
87.0	7.909	0.875	1857.787	0.04%	99.86%
88.0	7.756	0.858	1858.645	0.04%	99.91%
89.0	7.618	0.843	1859.488	0.04%	99.96%
90.0	7.549	0.832	1860.319	0.04%	100.00%

ZONAL LUMEN SUMMARY

Zone	Lumens	%Lamp	%Fixt
0-30	1570.11	78.62%	84.40%
0-40	1770.11	88.64%	95.15%
0-60	1823.92	91.33%	98.04%
0-90	1859.49	93.11%	99.96%
0-120	1859.49	93.11%	99.96%
0-180	1860.32	93.15%	100.00%
60-90	35.57	1.78%	1.91%
90-120	0.00	0.00%	0.00%
90-130	0.00	0.00%	0.00%
90-150	0.00	0.00%	0.00%
90-180	0.00	0.00%	0.00%
0-27.92	1488.26	74.52%	80.00%

ZONAL LUMEN SUMMARY

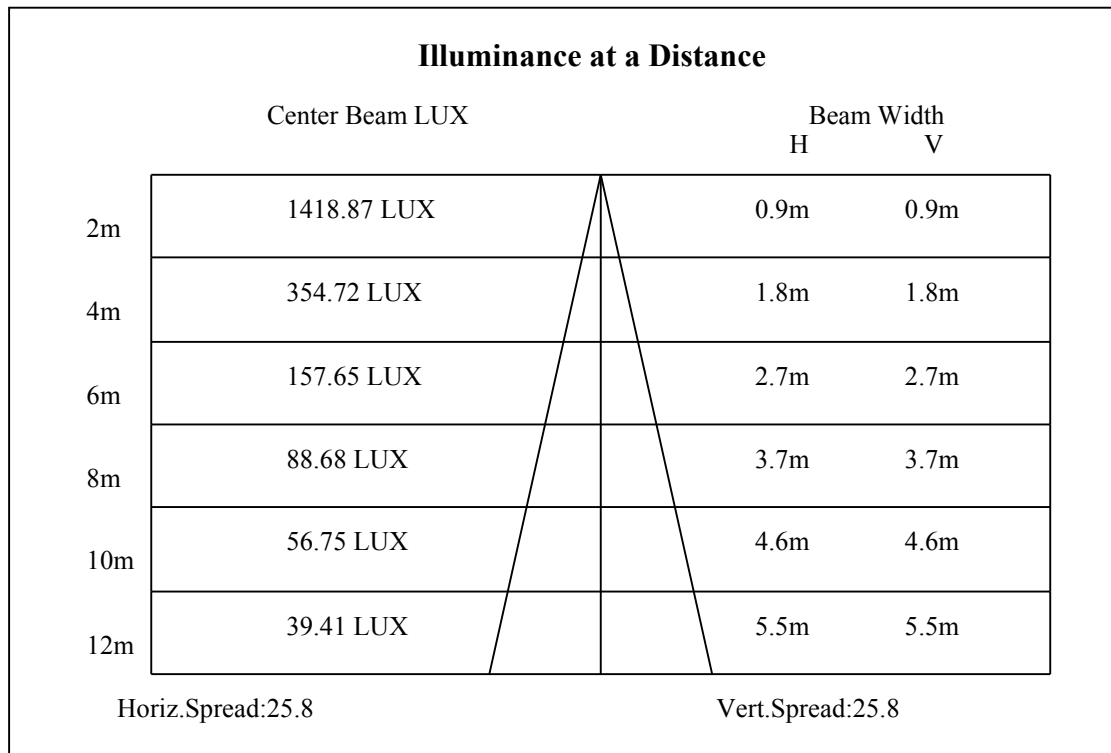
0-10	428.21
10-20	659.43
20-30	482.47
30-40	199.99
40-50	33.60
50-60	20.21
60-70	16.15
70-80	11.21
80-90	8.21
90-100	0.00
100-110	0.00
110-120	0.00
120-130	0.00
130-140	0.00
140-150	0.00
150-160	0.00
160-170	0.00
170-180	0.00

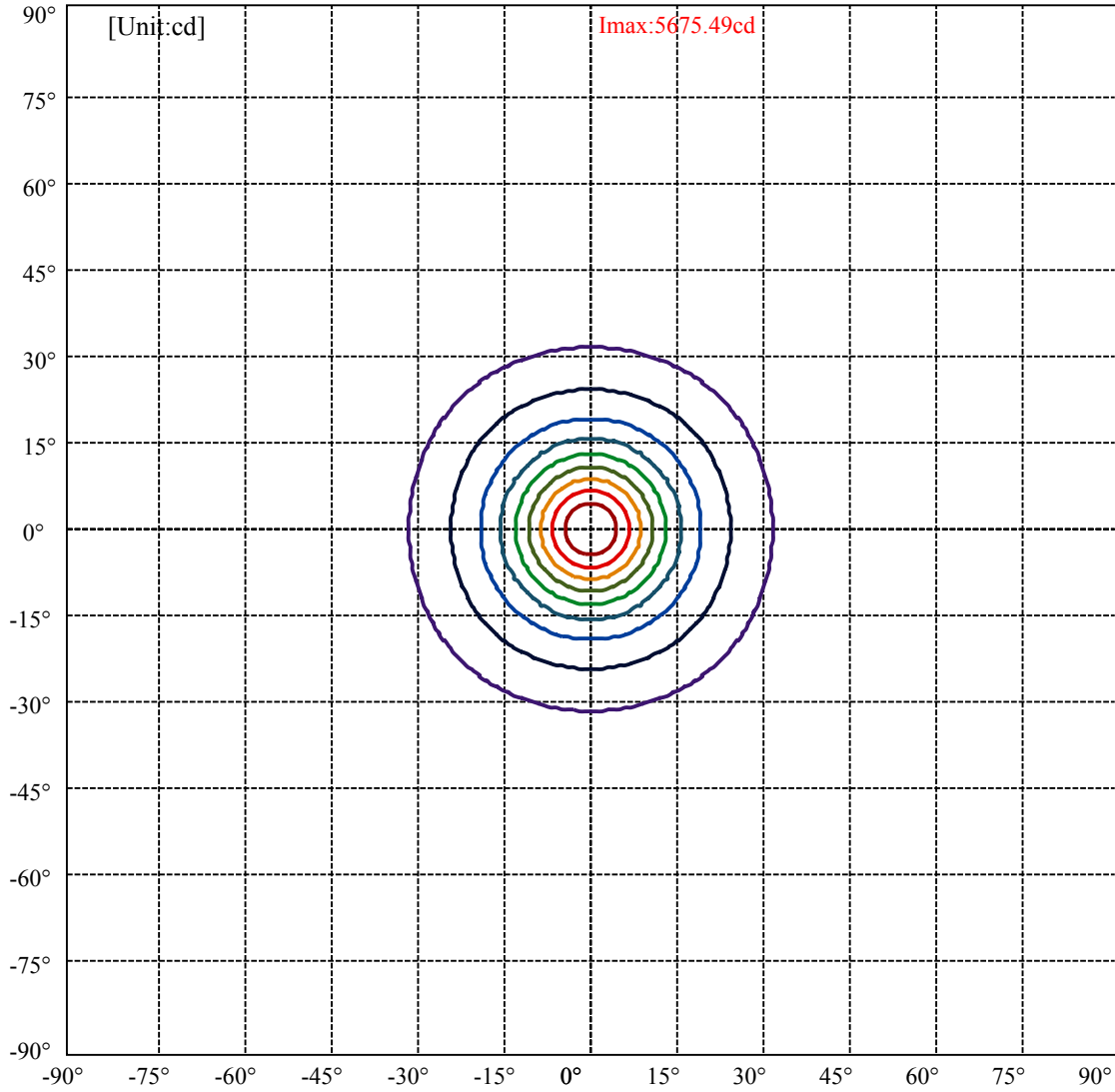


C0(Max): —————
C0/C180: —————
C90/C270: —————

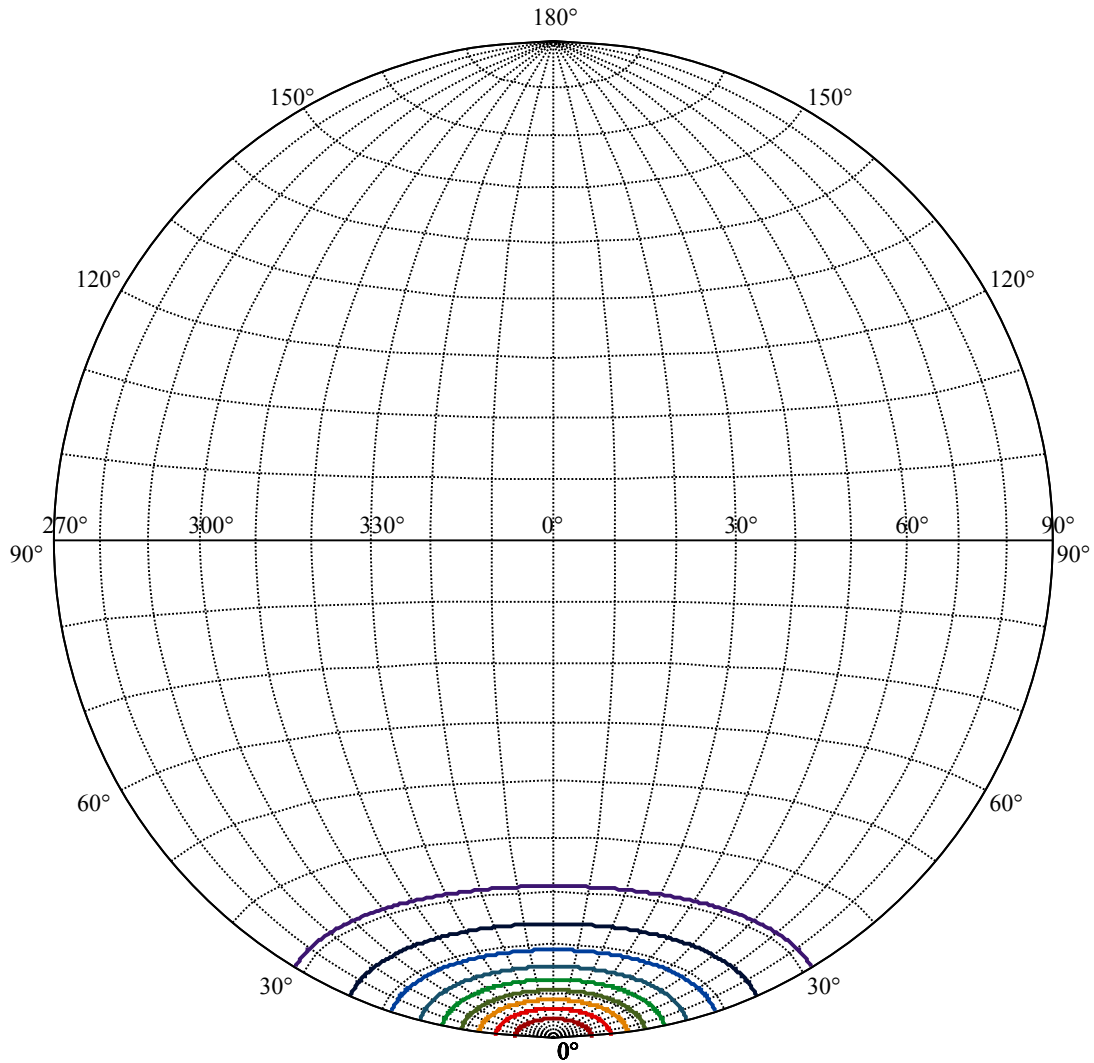
Field angle(10%Imax):C0/180Left:31.2 Right:31.2
:C90/270Left:31.2 Right:31.2

Beam Angle(50%Imax):C0/180Left:12.9 Right:12.9
:C90/270Left:12.9 Right:12.9





(10%Imax) 567.549	—
(20%Imax) 1135.1	—
(30%Imax) 1702.65	—
(40%Imax) 2270.19	—
(50%Imax) 2837.74	—
(60%Imax) 3405.29	—
(70%Imax) 3972.84	—
(80%Imax) 4540.39	—
(90%Imax) 5107.94	—



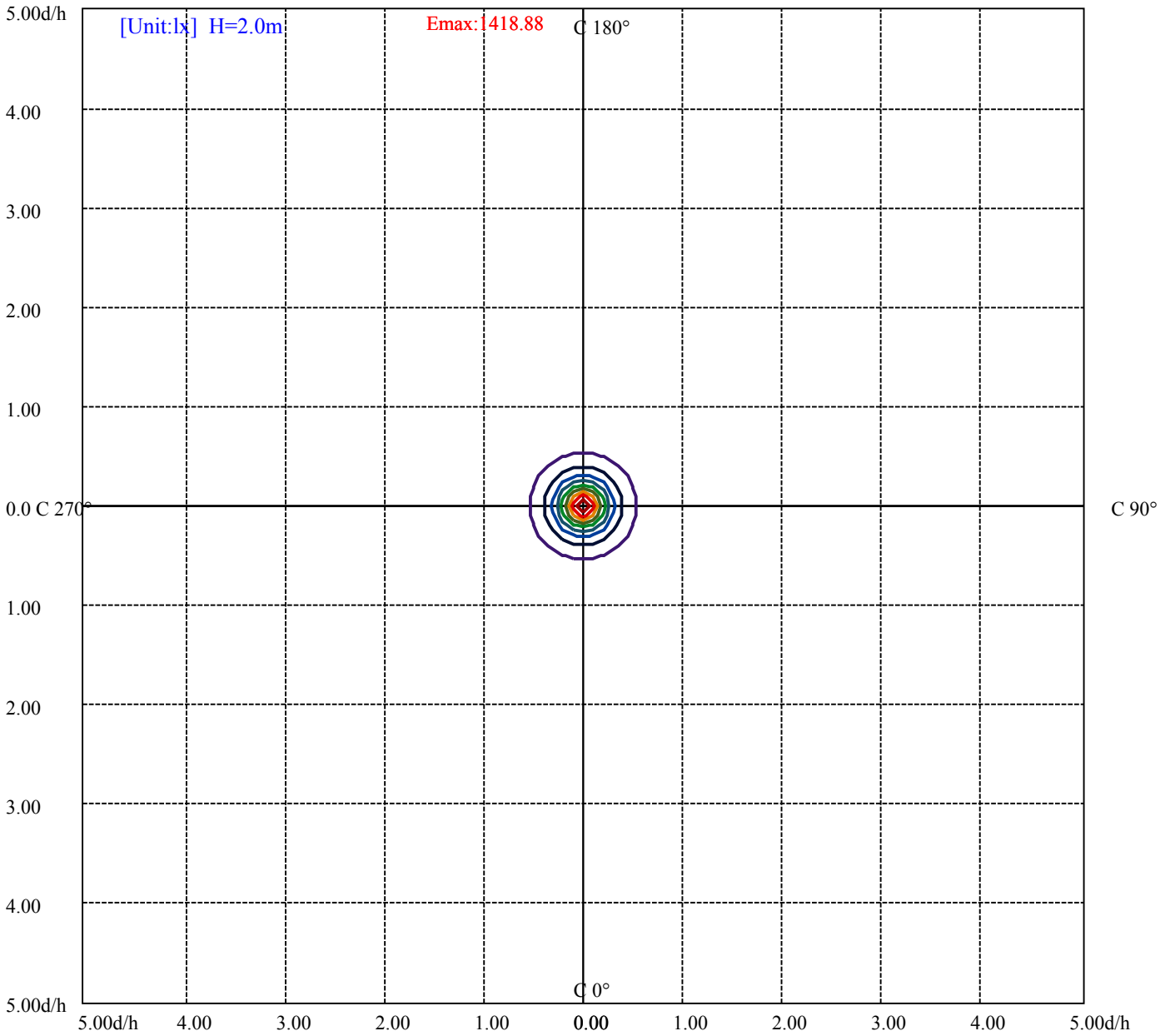
House

[Unit:cd]

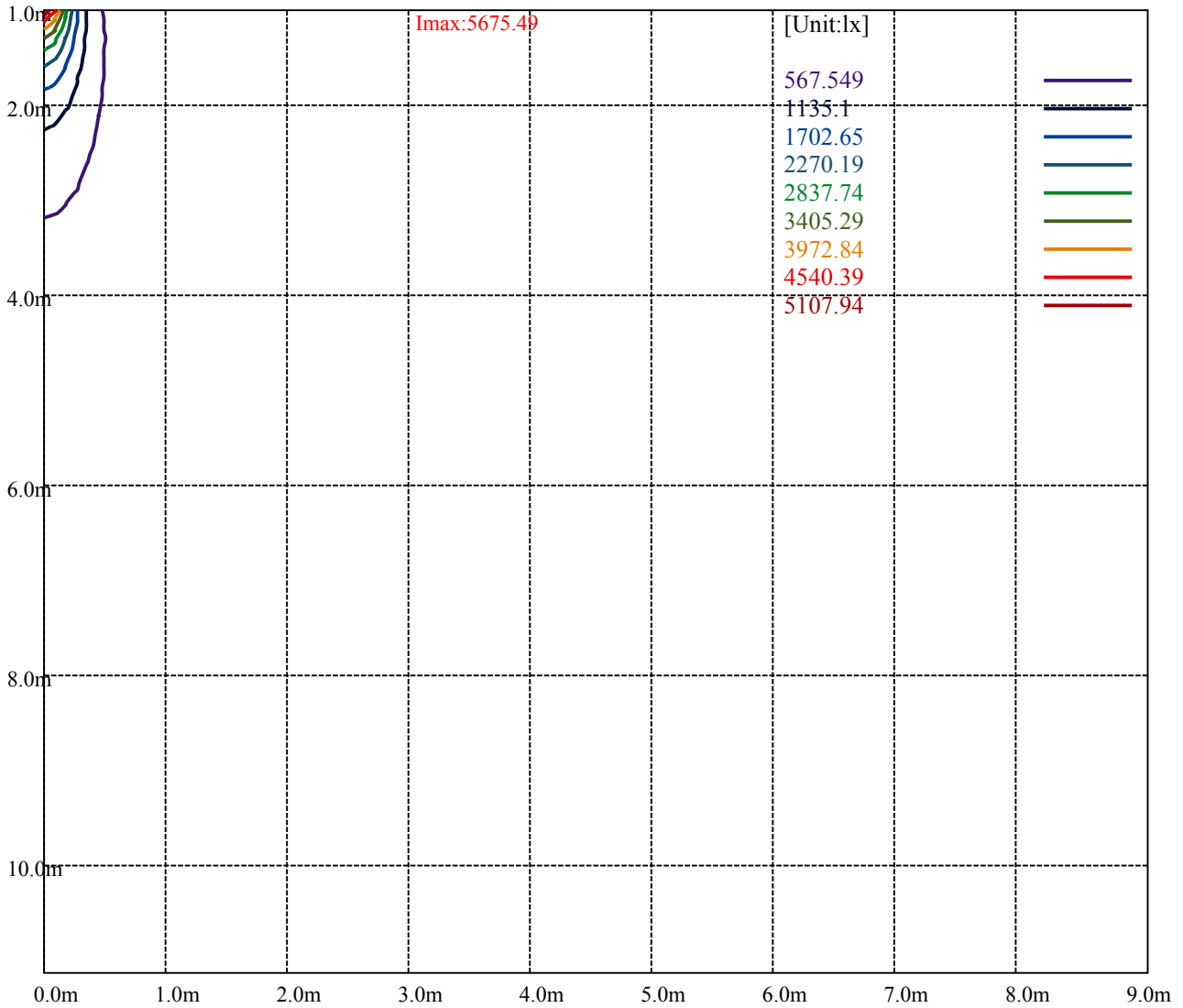
Road

I_{max}:5675.49

(10%I _{max})	567.549	—
(20%I _{max})	1135.1	—
(30%I _{max})	1702.65	—
(40%I _{max})	2270.19	—
(50%I _{max})	2837.74	—
(60%I _{max})	3405.29	—
(70%I _{max})	3972.84	—
(80%I _{max})	4540.39	—
(90%I _{max})	5107.94	—



- (10%Emax) 141.887
- (20%Emax) 283.775
- (30%Emax) 425.66
- (40%Emax) 567.5475
- (50%Emax) 709.435
- (60%Emax) 851.3225
- (70%Emax) 993.21
- (80%Emax) 1135.098
- (90%Emax) 1276.983



Luminance Table

γ	45	50	55	60	65	70	75	80	85
C0	0	0	0	0	0	0	0	0	0
C45	0	0	0	0	0	0	0	0	0
C90	0	0	0	0	0	0	0	0	0

L(Hor)(65)	L(Ver)(65)	L45(65)	L(Hor)(75)	L(Ver)(75)	L45(75)	L(Hor)(85)	L(Ver)(85)	L45(85)
0	0	0	0	0	0	0	0	0

Glare Table

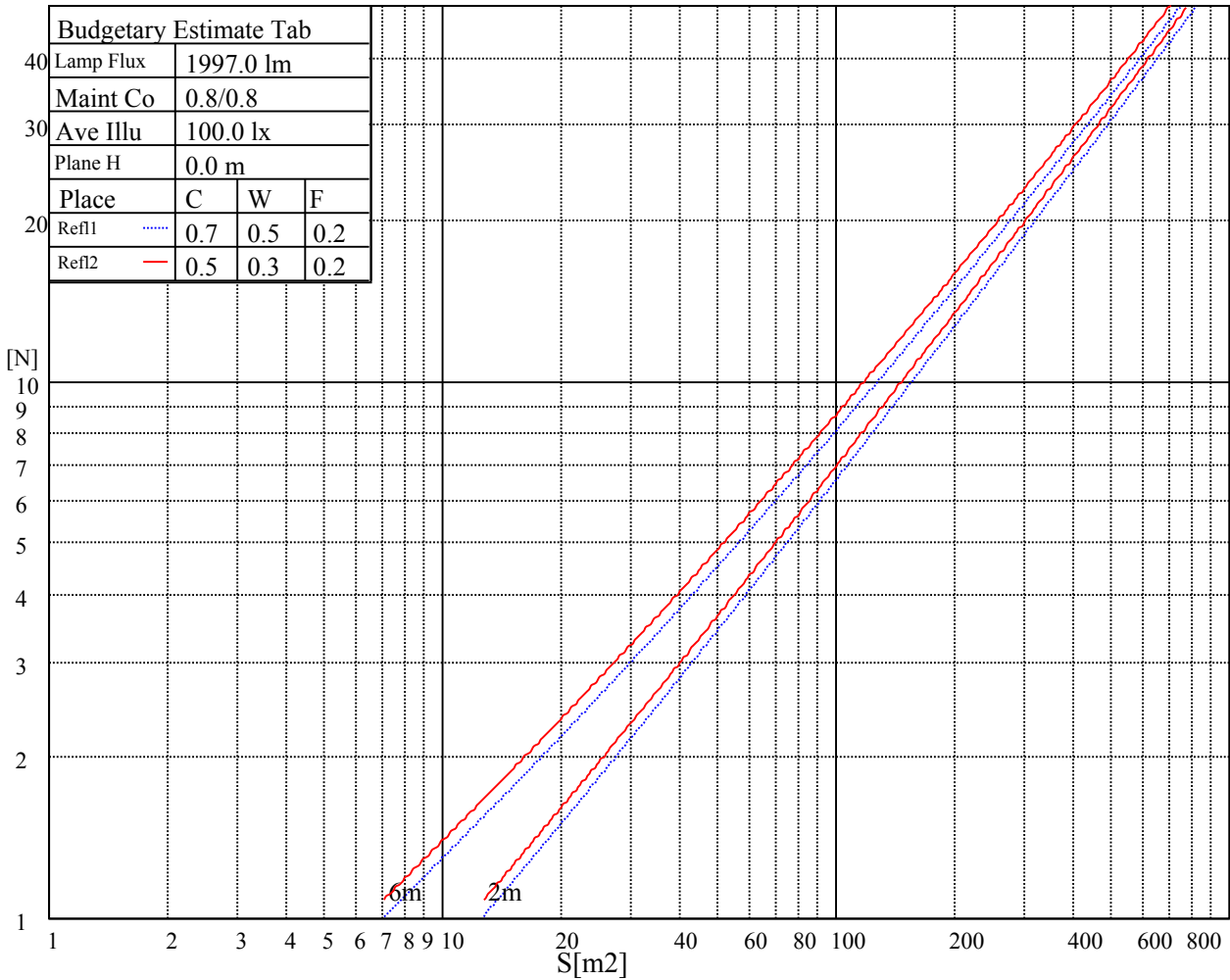
Glare	Quality	Service Values Illuminance(lx)							
1.15	A	2000	1000	500	<=300				
1.5	B		2000	1000	500	<=300			
1.85	C			2000	1000	500	<=300		
2.2	D				2000	1000	500	<=300	
2.55	E					2000	1000	500	<=300
		a	b	c	d	e	f	g	h

Luminance Limiting Curve

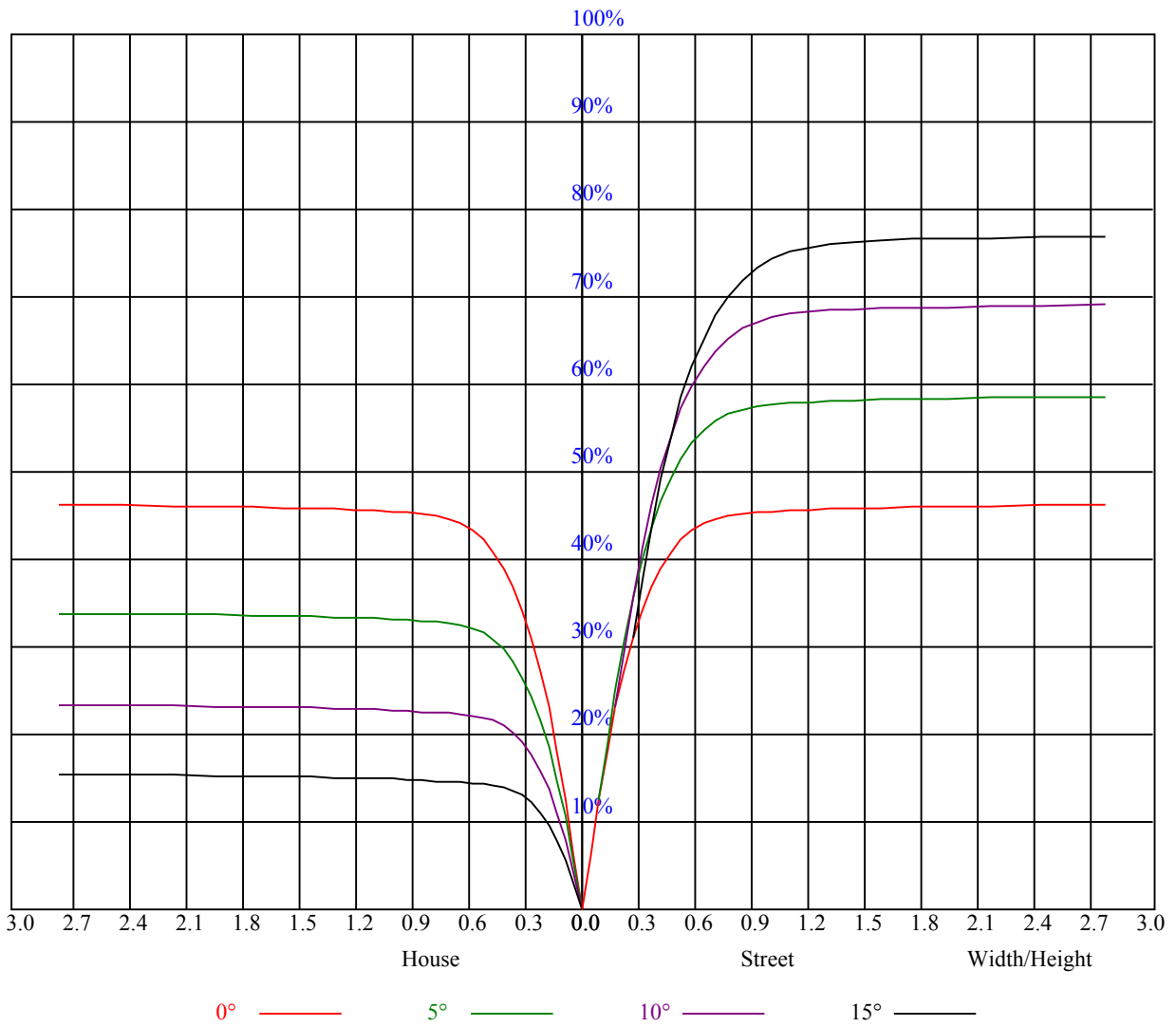


Illumination assessment according UGR											
Rf of Ceiling	70	70	50	50	30	70	70	50	50	30	
Rf of Wall	50	30	50	30	30	50	30	50	30	30	
Rf of Floor	20	20	20	20	20	20	20	20	20	20	
Room dimensions		Viewed crosswise					Viewed endwise				
X	Y										
2H	2H	非数字	非数字	非数字	非数字	非数字	非数字	非数字	非数字	非数字	非数字
	3H	非数字	非数字	非数字	非数字	非数字	非数字	非数字	非数字	非数字	非数字
	4H	非数字	非数字	非数字	非数字	非数字	非数字	非数字	非数字	非数字	非数字
	6H	非数字	非数字	非数字	非数字	非数字	非数字	非数字	非数字	非数字	非数字
	8H	非数字	非数字	非数字	非数字	非数字	非数字	非数字	非数字	非数字	非数字
4H	12H	非数字	非数字	非数字	非数字	非数字	非数字	非数字	非数字	非数字	非数字
	2H	非数字	非数字	非数字	非数字	非数字	非数字	非数字	非数字	非数字	非数字
	3H	非数字	非数字	非数字	非数字	非数字	非数字	非数字	非数字	非数字	非数字
	4H	非数字	非数字	非数字	非数字	非数字	非数字	非数字	非数字	非数字	非数字
	6H	非数字	非数字	非数字	非数字	非数字	非数字	非数字	非数字	非数字	非数字
8H	8H	非数字	非数字	非数字	非数字	非数字	非数字	非数字	非数字	非数字	非数字
	12H	非数字	非数字	非数字	非数字	非数字	非数字	非数字	非数字	非数字	非数字
	4H	非数字	非数字	非数字	非数字	非数字	非数字	非数字	非数字	非数字	非数字
	6H	非数字	非数字	非数字	非数字	非数字	非数字	非数字	非数字	非数字	非数字
	8H	非数字	非数字	非数字	非数字	非数字	非数字	非数字	非数字	非数字	非数字
12H	12H	非数字	非数字	非数字	非数字	非数字	非数字	非数字	非数字	非数字	非数字
	4H	非数字	非数字	非数字	非数字	非数字	非数字	非数字	非数字	非数字	非数字
	6H	非数字	非数字	非数字	非数字	非数字	非数字	非数字	非数字	非数字	非数字
8H	非数字	非数字	非数字	非数字	非数字	非数字	非数字	非数字	非数字	非数字	
Variation with the observer position at spacings:											
S = 1.0H		非数字/非数字					非数字/非数字				
S = 1.5H		非数字/非数字					非数字/非数字				
S = 2.0H		非数字/非数字					非数字/非数字				
Standard tables:		BK0					BK0				
Uncorrected UGR		负无穷大					负无穷大				

UGR calculation is based on CIE Publ. 117 ,S/H = 0.25



RHOCC	80			70			50			30			10			0
RHOW	50	30	10	50	30	10	50	30	10	50	30	10	50	30	10	0
RCR	COEFFICIENTS OF UTILIZATION RHOFC=20 CU															
0	1.11	1.11	1.11	1.08	1.08	1.08	1.04	1.04	1.04	0.99	0.99	0.99	0.95	0.95	0.95	0.93
1	1.04	1.02	1.00	1.02	1.00	0.98	0.98	0.96	0.95	0.95	0.93	0.92	0.91	0.90	0.90	0.88
2	0.98	0.94	0.91	0.96	0.93	0.90	0.93	0.91	0.88	0.90	0.88	0.87	0.88	0.86	0.85	0.83
3	0.92	0.88	0.85	0.91	0.87	0.84	0.89	0.85	0.83	0.86	0.84	0.82	0.84	0.82	0.80	0.79
4	0.87	0.83	0.79	0.86	0.82	0.79	0.84	0.81	0.78	0.83	0.80	0.77	0.81	0.78	0.76	0.75
5	0.83	0.78	0.75	0.82	0.78	0.75	0.81	0.77	0.74	0.79	0.76	0.73	0.78	0.75	0.73	0.72
6	0.79	0.74	0.71	0.79	0.74	0.71	0.77	0.73	0.70	0.76	0.73	0.70	0.75	0.72	0.69	0.68
7	0.76	0.71	0.68	0.75	0.71	0.67	0.74	0.70	0.67	0.73	0.69	0.67	0.72	0.69	0.66	0.65
8	0.73	0.68	0.65	0.72	0.68	0.64	0.71	0.67	0.64	0.70	0.67	0.64	0.69	0.66	0.64	0.63
9	0.70	0.65	0.62	0.69	0.65	0.62	0.68	0.64	0.61	0.68	0.64	0.61	0.67	0.64	0.61	0.60
10	0.67	0.62	0.59	0.67	0.62	0.59	0.66	0.62	0.59	0.65	0.61	0.59	0.65	0.61	0.59	0.58



Intensity data(cd)

C/γ(°)	0.0	1.0	2.0	3.0	4.0	5.0	6.0	7.0	8.0
0.0	5638.26	5526.45	5362.05	5147.28	4926.42	4616.43	4357.93	4076.18	3799.97
45.0	5694.72	5677.01	5573.50	5399.69	5238.61	5015.53	4777.51	4520.67	4169.73
90.0	5677.56	5561.87	5387.51	5233.07	5026.05	4782.50	4465.32	4194.09	3912.89
135.0	5691.40	5681.44	5575.71	5395.81	5238.06	5028.27	4781.39	4470.85	4197.41
180.0	5638.26	5687.53	5658.19	5579.59	5451.17	5237.50	5047.09	4816.81	4553.89
225.0	5694.72	5645.46	5535.86	5393.60	5208.16	5004.46	4695.04	4442.07	4103.31
270.0	5677.56	5698.04	5663.17	5542.50	5391.39	5202.08	4942.47	4688.95	4362.92
315.0	5691.40	5655.42	5549.70	5342.12	5153.36	4944.13	4634.70	4368.45	4098.88
360.0	5638.26	5526.45	5362.05	5147.28	4926.42	4616.43	4357.93	4076.18	3799.97
C/γ(°)	9.0	10.0	11.0	12.0	13.0	14.0	15.0	16.0	17.0
0.0	3472.83	3248.09	3008.41	2780.36	2522.96	2329.78	2152.65	1980.50	1798.38
45.0	3884.11	3564.16	3327.25	3087.01	2800.28	2579.98	2379.04	2156.52	1989.35
90.0	3625.61	3325.04	3107.50	2810.25	2597.69	2399.52	2174.79	2005.41	1856.50
135.0	3920.09	3640.00	3344.41	3113.03	2878.33	2656.36	2397.86	2212.98	2005.41
180.0	4222.32	3949.98	3660.48	3340.53	3117.46	2887.74	2623.15	2417.24	2182.54
225.0	3828.75	3477.26	3215.99	3001.22	2784.78	2517.98	2325.35	2137.15	1976.07
270.0	4099.99	3837.61	3559.73	3218.76	2994.02	2772.61	2560.05	2313.73	2126.63
315.0	3821.56	3470.62	3217.10	3000.66	2778.70	2526.84	2328.12	2146.56	1947.84
360.0	3472.83	3248.09	3008.41	2780.36	2522.96	2329.78	2152.65	1980.50	1798.38
C/γ(°)	18.0	19.0	20.0	21.0	22.0	23.0	24.0	25.0	26.0
0.0	1674.39	1521.62	1413.68	1314.59	1095.67	1095.67	1039.04	963.37	872.48
45.0	1845.99	1713.14	1567.01	1456.30	1362.20	1270.86	1169.57	1089.86	1015.13
90.0	1726.42	1574.75	1460.73	1359.98	1207.76	1093.29	1073.92	994.54	919.70
135.0	1861.49	1728.64	1573.65	1460.17	1358.88	1263.67	1157.94	1079.34	999.63
180.0	2027.55	1869.79	1723.10	1572.54	1465.71	1356.66	1254.81	1153.51	1072.70
225.0	1791.19	1656.12	1537.67	1425.85	1302.41	1086.48	1086.48	1029.19	957.73
270.0	1976.07	1783.44	1653.36	1537.67	1407.59	1306.29	1192.26	1113.11	1031.74
315.0	1800.04	1639.52	1518.85	1409.25	1313.49	1100.65	1100.65	1040.04	969.13
360.0	1674.39	1521.62	1413.68	1314.59	1095.67	1095.67	1039.04	963.37	872.48
C/γ(°)	27.0	28.0	29.0	30.0	31.0	32.0	33.0	34.0	35.0
0.0	796.87	722.36	647.08	555.86	483.13	413.82	335.61	279.09	227.72
45.0	918.81	844.09	749.43	675.26	598.32	524.14	435.02	369.71	308.82
90.0	825.38	750.37	657.05	584.20	512.35	422.46	357.47	300.13	234.31
135.0	925.46	835.23	762.72	691.31	598.87	526.36	438.90	374.69	314.91
180.0	999.08	930.44	838.00	771.02	681.90	606.07	531.34	442.22	378.01
225.0	867.61	797.92	725.13	652.67	561.01	488.38	421.19	360.13	289.89
270.0	961.44	872.32	794.27	723.42	650.35	553.48	479.86	412.33	350.89
315.0	877.24	804.18	728.07	652.73	558.57	485.73	417.64	340.54	285.07
360.0	796.87	722.36	647.08	555.86	483.13	413.82	335.61	279.09	227.72
C/γ(°)	36.0	37.0	38.0	39.0	40.0	41.0	42.0	43.0	44.0
0.0	173.42	138.16	109.10	82.64	67.42	56.35	46.72	41.07	36.64
45.0	280.03	280.03	146.19	114.47	85.80	69.36	57.51	47.55	41.90
90.0	189.92	152.61	121.28	91.72	74.40	61.61	52.59	44.39	39.41
135.0	286.12	286.12	153.38	120.84	95.93	73.40	60.83	51.81	45.00
180.0	316.57	288.34	288.34	155.77	122.55	96.48	72.51	59.39	49.98
225.0	240.01	195.40	149.12	118.68	94.54	71.96	59.23	50.04	41.79
270.0	281.69	281.69	174.09	139.38	111.09	83.81	67.97	56.52	48.27
315.0	234.98	181.01	144.69	114.91	86.79	70.47	58.56	50.10	42.40
360.0	173.42	138.16	109.10	82.64	67.42	56.35	46.72	41.07	36.64

Intensity data(cd)

C/γ(°)	45.0	46.0	47.0	48.0	49.0	50.0	51.0	52.0	53.0
0.0	33.21	29.84	27.79	26.18	24.58	23.75	23.03	22.53	22.20
45.0	37.42	33.16	30.44	28.23	26.13	24.85	23.91	23.14	22.47
90.0	35.65	31.83	29.50	27.29	25.85	24.74	23.86	23.14	22.75
135.0	38.80	35.09	31.39	29.06	27.23	25.52	24.58	23.75	23.14
180.0	41.79	37.14	33.54	30.06	28.01	26.35	24.80	23.86	23.19
225.0	37.14	33.54	30.61	27.84	26.24	25.02	23.91	23.30	22.81
270.0	40.85	36.37	32.99	30.39	27.84	26.29	25.02	23.97	23.36
315.0	37.86	34.32	31.39	28.62	27.01	25.35	24.36	23.69	22.97
360.0	33.21	29.84	27.79	26.18	24.58	23.75	23.03	22.53	22.20
C/γ(°)	54.0	55.0	56.0	57.0	58.0	59.0	60.0	61.0	62.0
0.0	21.86	21.70	21.48	21.26	20.98	20.26	19.54	18.76	17.88
45.0	22.20	21.92	21.75	21.53	21.37	21.03	20.59	19.87	18.88
90.0	22.42	22.14	21.92	21.64	21.42	20.87	20.09	19.32	18.21
135.0	22.81	22.58	22.47	22.25	21.98	21.75	21.42	20.37	19.60
180.0	22.69	22.42	22.25	22.14	22.14	21.92	21.75	21.26	20.48
225.0	22.53	22.42	22.36	22.31	22.14	21.92	21.26	20.48	19.71
270.0	22.92	22.64	22.47	22.42	22.31	22.09	21.81	21.31	20.37
315.0	22.69	22.42	22.20	22.09	21.75	21.48	20.81	19.98	19.15
360.0	21.86	21.70	21.48	21.26	20.98	20.26	19.54	18.76	17.88
C/γ(°)	63.0	64.0	65.0	66.0	67.0	68.0	69.0	70.0	71.0
0.0	16.66	15.83	14.83	13.89	13.12	12.57	12.01	11.62	11.35
45.0	18.05	17.16	16.22	14.89	14.17	13.45	12.79	12.18	11.79
90.0	17.21	16.33	15.06	14.23	13.51	12.79	12.23	11.90	11.51
135.0	18.65	17.44	16.44	15.33	14.28	13.51	12.90	12.23	11.85
180.0	19.71	18.43	17.49	16.44	15.06	14.23	13.45	12.79	12.12
225.0	18.65	17.38	16.33	15.22	14.34	13.34	12.68	12.18	11.73
270.0	19.48	18.49	17.49	16.22	15.17	14.28	13.34	12.73	12.12
315.0	18.21	16.94	16.00	14.78	14.00	13.28	12.57	12.12	11.79
360.0	16.66	15.83	14.83	13.89	13.12	12.57	12.01	11.62	11.35
C/γ(°)	72.0	73.0	74.0	75.0	76.0	77.0	78.0	79.0	80.0
0.0	11.02	10.74	10.46	10.24	9.91	9.69	9.47	9.24	8.97
45.0	11.46	11.07	10.85	10.63	10.24	10.07	9.85	9.58	9.30
90.0	11.24	10.90	10.63	10.35	10.07	9.85	9.58	9.35	9.08
135.0	11.51	11.24	10.85	10.63	10.35	10.13	9.85	9.63	9.41
180.0	11.73	11.46	11.13	10.79	10.52	10.24	9.96	9.69	9.41
225.0	11.40	11.02	10.74	10.46	10.24	9.91	9.63	9.47	9.24
270.0	11.79	11.46	11.13	10.79	10.57	10.30	9.96	9.74	9.52
315.0	11.46	11.07	10.85	10.52	10.30	9.96	9.69	9.52	9.24
360.0	11.02	10.74	10.46	10.24	9.91	9.69	9.47	9.24	8.97
C/γ(°)	81.0	82.0	83.0	84.0	85.0	86.0	87.0	88.0	89.0
0.0	8.80	8.58	8.36	8.25	8.08	7.92	7.75	7.64	7.53
45.0	9.08	8.80	8.64	8.47	8.25	8.08	7.92	7.75	7.58
90.0	8.86	8.69	8.52	8.36	8.14	8.03	7.80	7.64	7.58
135.0	9.08	8.91	8.64	8.52	8.30	8.14	7.92	7.80	7.64
180.0	9.24	9.02	8.75	8.58	8.36	8.19	8.03	7.86	7.75
225.0	8.97	8.75	8.58	8.36	8.19	8.03	7.92	7.75	7.58
270.0	9.30	9.02	8.80	8.58	8.36	8.19	8.03	7.86	7.69
315.0	9.02	8.80	8.58	8.41	8.25	8.08	7.92	7.75	7.58
360.0	8.80	8.58	8.36	8.25	8.08	7.92	7.75	7.64	7.53

Intensity data(cd)

C/γ(°)	90.0
0.0	7.53
45.0	7.53
90.0	7.53
135.0	7.58
180.0	7.58
225.0	7.53
270.0	7.58
315.0	7.53
360.0	7.53